

بهبود کارآمدی عملیاتی کوادرورتورهای گام متغیر با استفاده از روش‌های بهینه‌سازی

نرم‌بی‌نهایت و سنتز م

پاسین سرافراز (دانشجوی دکتری)

فرید شاهمیری* (استادیار)

سید حسین سادانی (دانشیار)

دانشکده‌ی مهندسی هواپیما، دانشگاه صنعتی مالک‌اشتر

این تحقیق با هدف بهبود کارآمدی کوادرورتورهای گام متغیر در پرواز ایستا با چشم‌انداز تحقیق پرواز معکوس و پایدار تدوین شده است. متداول‌تر حل مبتنی بر استخراج معادلات حرکت شش درجه آزادی، محاسبه‌ی شرایط تریم، خطی‌سازی معادلات حول این شرایط و نهایتاً طراحی، پیاده‌سازی و الحاق یک کنترل‌کننده مقاوم برای کوادرورتور منتخب با زاویه گام پرهای قابل تنظیم طرح ریزی شده است. مدل آیرودینامیک روتورهای اصلی در رینولزهای کوچک محاسبه و مدل دینامیکی سامانه پیشرانش الکتریکی با تافق نظریه ممتنم - المان په بخوبی استخراج شده است. سامانه‌ی کنترل مقاوم این تحقیق شامل دو حلقه‌ی کنترل وضعیت و موقعیت است که عدم قطعیت‌های بدون ساختار را با استفاده از بهینه‌سازی نرم‌بی‌نهایت و عدم قطعیت‌های ساختاریافته را با روش سنتز م کنترل می‌کند. نتایج نشان می‌دهد با 30° درصد عدم قطعیت در ضرایب آیرودینامیک و دیگر مشخصات، پایداری پرواز ایستا محرز و پرواز معکوس پایدار به عنوان یک توانمندی جدید در کوادرورتور گام متغیر امکان‌پذیر می‌شود.

aero8186@mut.ac.ir
fsh@mut.ac.ir
hsadaty@mut.ac.ir

واژگان کلیدی: کوادرورتور گام متغیر، پرواز ایستا، مدل‌سازی آیرودینامیک، کنترل مقاوم، بهینه‌سازی.

۱. مقدمه

زاویه گام پرهای روتور اصلی و درنتیجه تغییر زاویه حمله پره‌ها و به دنبال آن تغییر نیروی برآ یا تراست روتور اصلی است. اگرچه روتورهای اصلی به انواع مختلف با کاربرد خاص خود تقسیم می‌شود، به دلیل سادگی ساختار مکانیکی در این تحقیق فرض می‌شود روتور اصلی کوادرورتور از نوع روتورهای الکلنگی با اصطلاحاً نیمه‌صلب است. مطالعات و بررسی‌ها نشان می‌دهد که در این ساختار دو پره‌یی هرگاه یک پره به سمت بالا حرکت کند پره دیگر به سمت پایین رانده می‌شود به‌طوری‌که فرکانس بی‌بعد حرکت فلیپینگ^۱ روتور اصلی مقداری واحد خواهد شد. به‌این‌ترتیب، در این روتورها اختلاف فاز بین ورودی (زاویه‌ی گام کالکتیو و سایکلیک طولی و عرضی) و خروجی روتور اصلی (زاویه‌ی فلیپینگ روتور اصلی) 90° درجه است.

از نگاهی دیگر، تبدیل کوادرورتور به یک کوادرورتور گام متغیر گامی مؤثر در توسعه‌ی پاکت پروازی کوادرورتورهای گام ثابت است. درواقع سازوکار گام متغیر تمهدی در جهت افزایش قابلیت پروازی و سرعت‌بخشی به عملیاتی است که در کوادرورتورهای گام ثابت به علت بالابودن لختی روتورهای اصلی دسترسی به آن‌ها غیرممکن شده است. علاوه بر این، پرواز معکوس نیز قابلیت جدیدی است که می‌تواند در مأموریت

به‌طور کلی کوادرورتور پهپاد بالگرد با قابلیت نشست و برخاست عمودی است که در آن از چهار روتور اصلی برای هدایت و کنترل پرنده استفاده می‌شود. معمولاً هدایت و کنترل این پرنده با تغییر سرعت دوران روتورهای اصلی و درنتیجه تغییر نیرو و گشتاورهای حول مرکز نقل بدنه انجام می‌شود. مطالعات و بررسی‌ها نشان می‌دهد که سال‌های متمادی است بالگردها با تغییر زاویه‌ی گام پره‌های روتور اصلی قادر به ارائه‌ی سطح قابل قبولی از عملکرد در فازهای ایستا و کروز شده‌اند. این قابلیت با نصب سامانه‌ی کنترل پرواز و استفاده از سازوکار صفحه‌ی رقصان و تولید ورودی زاویه‌ی گام کالکتیو و زاویه‌ی گام سایکلیک ایجاد شده است. صرف نظر از ورودی سایکلیک، با استفاده از ورودی زاویه کالکتیو (تغییر یکسان زاویه گام پره‌ها) که اصولاً منجر به تغییر اندازه نیروی تراست می‌شود می‌توان قدرت مانورپذیری و چالاکی در یک کوادرورتور را افزایش داد و البته این موضوع محور مطالعات در بررسی حاضر است. این افزایش قدرت مانورپذیری به دلیل تغییر

* نویسنده مستول تاریخ: دریافت ۱۸، اصلاحیه ۱۳۹۵/۵/۱۱، پذیرش ۱۵، اصلاحیه ۱۳۹۵/۹/۱۵.

وزنی هستند. همچنین به دلیل ساده‌سازی مدل‌سازی سیستم پیشران و نادیده گرفتن الزامات رژیم پروازی رینولدز پایین در اغلب مدل‌سازی‌ها عدم قطعیت وجود دارد. لذا در تحقیق حاضر ابتدا مدل دینامیکی جامع (به انضمام دینامیک موتور) مبتنی بر نظریه‌ی ممنتم و المان پره، برای کوادرورت گام متغیر (در رژیم پروازی رینولدز پایین) استخراج می‌شود. مدل ریاضی سیستم پیشران مبنج بر توسعه‌ی درک سازوکار شده و ابزار مناسبي را برای شبیه‌سازی و مقایسه‌ی سازوکارهای مختلف پیشرانه ارائه می‌کند. لذا با استفاده از مدل دینامیکی، پایداری و عملکرد سازوکارهای گام ثابت و متغیر مقایسه شده است. نتایج شبیه‌سازی بیان‌گر برتری سازوکار گام متغیر در پرواز مانور و چالاک است.

در ادامه با توجه به افزایش چالاکی و گسترش پاکت پروازی کوادرورت گام متغیر نسبت به کوادرورت گام ثابت، برای تضمین پایداری با استفاده از بهینه‌سازی H_{∞} کنترل‌کننده‌ی وضعیت و موقعیت طراحی می‌شود. البته به دلیل وجود قطب مرتبه‌ی دوم در مبدأ، انتقال دوخطی معادلات در محیط لاپلاس برای حل معادلات دیگری انجام و کنترل‌کننده‌ی بهینه H_{∞} با استفاده از حل تحلیلی به دست می‌آید. کنترل‌کننده‌ی حاصل از بهینه‌سازی H_{∞} دارای رفتاری پایدار و البته محافظه‌کارانه است. لذا برای کاهش محافظه‌کاری سیستم و بهبود چالاکی، با مدل‌سازی عدم قطعیت‌ها، از روش دیگری در کنترل مقاوم به نام «ستنز» μ استفاده شده است. این کنترل‌کننده، علاوه بر پایدارسازی پرندۀ در مقابل عدم قطعیت‌ها، مانور پرواز معکوس پایدار را به عنوان یک مانور چالاک شبیه‌سازی می‌کند.

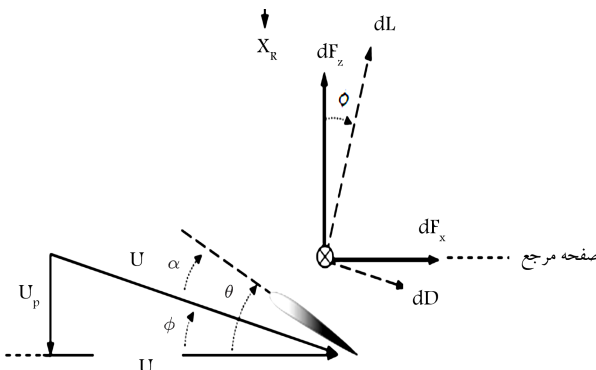
۲. مدل آیرودینامیک روتور اصلی

در این قسمت نخست از تلفیق نظریه‌ی ممنتم و المان پره، برای محاسبه‌ی نیروها و گشتاورهای آیرودینامیکی روتور اصلی در پرواز استفاده می‌شود.^[۱۶] براساس این نظریه، و با فرض استاندارد بودن روتور اصلی متشکل از پره‌هایی با ایرفویل، می‌توان نشان داد که نیروها و گشتاورهای آیرودینامیکی در یک المان دیفرانسیلی به ضخامت dy و به فاصله‌ی y از مرکز دوران روتور اصلی (شکل‌های ۱ و ۲) برابر است با:

$$dL = \frac{1}{2} \rho c v^2 C_{L\alpha} \alpha dy \quad (1)$$

$$dD = \frac{1}{2} \rho c v^2 C_{d\alpha} dy \quad (2)$$

که در آن ρ چگالی هوای پره، v سرعت خطی المان است. همچنین $C_{L\alpha}$ ضریب نیروی پسای المان است. با توجه به شکل ۱ واضح شیب منحنی برآ و C_d ضریب نیروی پسای المان است. با توجه به شکل ۱ واضح



شکل ۱. نمایش سرعت و نیرو آیرودینامیکی المان دیفرانسیلی پره.

کوادرورت‌های با زاویه‌ی گام متغیر لحظه‌شود و البته کاربرد آن در پروازهای دسته جمعی و عملیات گروهی بسیار حائز اهمیت است.

مطالعات و بررسی‌ها نشان می‌دهد که تحقیقات گستردگی در زمینه‌ی کوادرورت‌های گام ثابت صورت گرفته است. لی^[۱۷] و طبی^[۱۸] کنترل‌کننده‌های تناوبی - مشتقی - انتگرالی را روی کوادرورت گام ثابت پیاده‌سازی و شبیه‌سازی کرده‌اند. استفاده از بردارهای کواترینوئی و پایدارسازی پرندۀ در یک مانور ساده در این تحقیق‌ها ارائه شده است.

مارتن^[۱۹] به دلیل الزامات رژیم پروازی، تحلیل آیرودینامیکی پرندۀ در رژیم پروازی رینولدز پایین را برای بهبود مدل‌سازی یک بالگرد بدون سرنشیون همراه با طراحی کنترل‌کننده‌ی خطی در حلقه‌ی داخلی و کنترل‌کننده‌ی H_{∞} در حلقه‌ی خارجی ارائه کرد. توسعه‌ی روابط آیرودینامیکی پره باعث افزایش دقت معادلات دینامیکی پرندۀ و درنتیجه کاهش عدم قطعیت معادلات پرواز شده است.

پیلز^[۲۰] با توجه به عدم قطعیت در حس‌گرهای اندازه‌گیری و موقعیت‌سنجی، کنترل‌کننده‌ی مقاوم H_{∞} را برای پرواز گروهی کوادرورت گام ثابت طراحی و مدل‌سازی کرد. استفاده از این نوع کنترل‌کننده منجر به تضمین پایداری پرندۀ در حضور عدم قطعیت‌های مدل‌سازی و آیرودینامیکی و بهبود توانمندی پرندۀ‌ها در پرواز گروهی شد. چوتون^[۲۱] نیز با استفاده از کنترل‌کننده‌ی مقاوم مود لغزشی، رفتار کوادرورت گام ثابت را در حضور نامعینی‌های پارامتریک مدل‌سازی غیرخطی و عدم قطعیت‌ها بدون ساختار بهبود بخشید. در سال‌های اخیر نیز لوای^[۲۲] برای یک ربات پرندۀ چهارپره‌ی گام ثابت، کنترل‌کننده‌ی مقاوم را با استفاده از تکنیک مود لغزشی برای تعقیب مسیر توسعه داد.

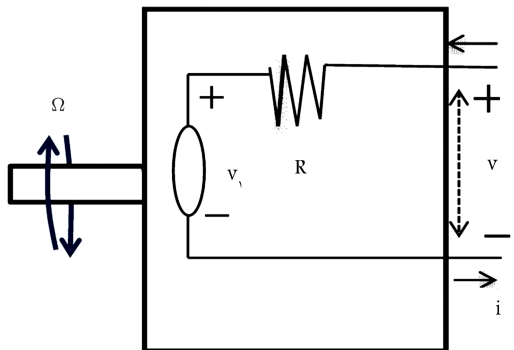
بررسی‌ها همچنین نشان می‌دهد که چنگ پنگ^[۲۳] کنترل‌کننده‌ی مقاوم مود لغزشی را در ترکیب با روش کنترلی بازگشت به عقب و استفاده از شبکه‌ی عصبی در یک پرندۀ‌ی هشت روتوره استفاده و با پیش‌بینی عدم قطعیت‌های مدل‌سازی، پایداری پرندۀ را در حضور عدم قطعیت‌ها و همچنین اغتشاشات خارجی تضمین کرد. دادگر^[۲۴] با استفاده از روش کنترل گام به عقب و الگوریتم ژنتیک، مقاومت سیستم کنترلی را در مقابل عدم قطعیت جرم کوادرورت گام ثابت نشان داد.

مطالعات و بررسی‌ها نشان می‌دهد که علاوه بر موارد فوق، کوادرورت‌ها بستر مناسبی برای توسعه و آزمایش انواع کنترل‌کننده‌های خطی و غیرخطی -- اعم از لیاپانوف، PID، LQR، μ ، مود لغزشی و غیره -- خواهند بود. به عنوان نمونه، بوعد الله^[۲۵] با ساخت و پیاده‌سازی انواع روش‌های کنترلی روی یک کوادرورت آزمایشگاهی پرواز خودکار در فاز پرواز است و نشست و برخاست را روی پرندۀ پیاده‌سازی کرد.

بررسی‌های بیشتر در این زمینه نشان می‌دهد که توسعه‌ی مأموریت کوادرورت‌های گام ثابت با سازوکار تغییر زاویه‌ی گام پره‌های روتور اصلی اولین بار توسط آستین^[۲۶] بررسی شد. وی موفق به ساخت یک کوادرورت با سازوکار گام متغیر شد. البته در نتایج این تحقیق گزارشی از طراحی سامانه‌ی کنترل خودکار یا طراحی کنترل‌کننده‌ها ارائه نشده است.

در ادامه، می‌چینی^[۲۷] و کاتلر^[۲۸] کنترل‌کننده‌ی خطی را برای کوادرورت گام متغیر طراحی، و سپس بهینه‌سازی دو بعدی مسیر را در آن پیاده‌سازی کرده‌اند. پس از ایشان شنگ^[۲۹]، پانیزا^[۳۰] و گوپتا^[۳۱] توسعه‌ی روش‌های کنترل غیرخطی و بهینه‌ی را برای این‌گونه وسائل پرندۀ ارائه کرده‌اند.

چنان‌که اشاره شد تقریباً اکثر فعالیت‌های علمی روی کوادرورت گام ثابت و بدون قابلیت تغییر زاویه‌ی گام پره روتور اصلی انجام شده است. تجربه نشان می‌دهد که کوادرورت گام ثابت توانمندی پرواز معکوس را ندارد و علاوه بر آن به دلیل حضور اثرات پدیده‌ی ژیروسکوپی و پیچیده‌تر شدن سیستم کنترل با افزایش وزن، دارای محدودیت



شکل ۳. مدار معادل یک موتور الکتریکی.

که در آن K_V ثابت موتور برحسب (رادیان بر ثانیه - ولت)، R مقاومت داخلی موتور و Ω سرعت دورانی روتور اصلی است. مقدار جریان مصرفی نیز در موتور برحسب مقدار سرعت دوران از رابطه $i = \frac{v}{R} + \frac{K_V \Omega}{R}$ محاسبه می‌شود:

$$i = \frac{v}{R} + \frac{\Omega}{K_V} \quad (10)$$

$$I\dot{\Omega} = Q_M - Q_L \quad (11)$$

در معادله ۱۱ شتاب زاویه‌ی روتور اصلی Q_M و Q_L به ترتیب گشتاور مورد نیاز و گشتاور تولیدی موتور و I ممان اینرسی قطعات گردنه‌ی سامانه‌ی پیشران است. گشتاور موتور الکتریکی را می‌توان از اختلاف جریان i و جریان بدون پاره، i_0 تقسیم بر K_q ثابت گشتاور که برحسب Amp/Nm بیان می‌شود، به دست آورد:

$$Q_M = \frac{(i - i_0)}{K_q} \quad (12)$$

با جایگزینی معادلات ۱۲ و ۱۱ در رابطه ۱۱ مدل موتور الکتریکی چنین خواهد

شد:

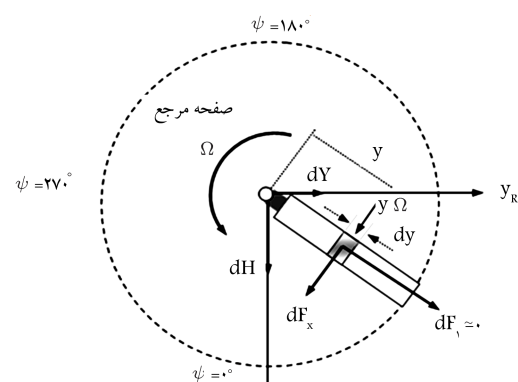
$$I\dot{\Omega} = \left[\left(v - \frac{\Omega}{K_V} \right) \frac{1}{R} - i_0 \right] \frac{1}{K_q} - Q_L \quad (13)$$

با جایگزینی رابطه ۸، در معادله ۱۳ مدل دینامیکی روتور اصلی و موتور چنین خواهد شد:

$$I\dot{\Omega} = \left[\left(v - \frac{\Omega}{K_V} \right) \frac{1}{R} - i_0 \right] \frac{1}{K_q} - \rho c R^4 \Omega^4 \left(\frac{C_{D_i} + C_{D_i} \theta^4}{4} - \frac{C_{L\alpha} \theta}{2R\Omega} \right) \quad (14)$$

مطابق رابطه ۱۴ واضح است که تغییرات سرعت دورانی مجموعه‌ی پیشران (روتور اصلی) همزمان به ولتاژ موتور و زاویه‌ی حمله (گام) پره وابسته است. برای به دست آوردن توابع تبدیل سیستم پیشران با استفاده از بسط تیاور و صرف نظر کردن جملات مرتبه دوم به بالا در پرواز ایستا و با فرض سرعت ثابت دورانی روتور اصلی و زاویه تعادل گام پره (θ_0, Ω_0) ، معادله ۱۴ خطی‌سازی می‌شود:

$$\begin{aligned} \Delta\dot{\Omega} = & -\frac{1}{I} \left[\frac{1}{RK_V K_Q} + 2\rho c R_p^4 \frac{C_{D_i}}{4} \Omega_0 + \dots \right. \\ & \left. \dots + 2\rho c R_p^4 \frac{C_{D_i}}{4} \Omega_0 \theta_0 + \rho c R_p^4 \frac{C_{L\alpha}}{2R_p} \theta_0 \right] \Delta\Omega \\ & + \frac{1}{I} \left[\frac{1}{RK_Q} - 2\rho c R_p^4 \frac{C_{D_i}}{4} \Omega_0 \theta_0 + \rho c R_p^4 \frac{C_{L\alpha}}{2R_p} \Omega_0 \right] \begin{bmatrix} \Delta v \\ \Delta\theta \end{bmatrix} \end{aligned} \quad (15)$$



شکل ۲. نمایش المان دیفرانسیلی پره در صفحه روتور اصلی.

است:

$$v = \sqrt{(u_p)^2 + (u_T)^2} \quad (3)$$

که در آن u_p سرعت القایی عمود بر پره و u_T سرعت افقی حاصل از دوران پره است. با توجه به $u_p >> u_T$ در شرایط پرواز ایستا می‌توان نتیجه گرفت:

$$v = u_T = \Omega y \quad (4)$$

که در آن Ω سرعت دورانی روتور اصلی و y فاصله‌ی المان از مرکز پره است. از سوی دیگر، مطابق شکل می‌توان نشان داد که تصویر نیروهای پسا و برآی المان در صفحه روتور اصلی (صفحه هاب) عبارت خواهد بود از:

$$dT = dL \cos \varphi - dD \sin \varphi \quad (5)$$

$$dQ = (dL \sin \varphi + dD \cos \varphi) y \quad (6)$$

در رابطه‌ی فوق φ زاویه حمله جریان داخلی (شکل ۱)، dT و dQ به ترتیب گشتاور آبرو دینامیکی و تراست المان دیفرانسیلی حول مرکز دوران روتور اصلی است.

با جایگذاری رابطه‌ی ۴ در رابطه‌ی ۱ و فرض R به عنوان شاعر پره و سرعت القایی یکنواخت در روتور اصلی، با انتگرال‌گیری از معادله ۵ در طول پره می‌توان نشان داد که تراست روتور اصلی برابر است با:

$$T = \rho c r^4 \Omega^4 R^4 C_{L\alpha} \frac{\theta}{3} \quad (7)$$

همچنین مقدار گشتاور مورد نیاز برای دوران پره به صورت زیر است:

$$Q_L = \rho c r^4 R^4 \Omega^4 \left(\frac{C_{D_i} + C_{D_i} \theta^4}{4} - \frac{C_{L\alpha} \theta}{2R\Omega} \right) \quad (8)$$

که در آن C_{D_i} و i به ترتیب ضریب پسای القایی و ضریب پسا در زاویه‌ی حمله‌ی صفر پره، θ زاویه‌ی گام پره و $c r^4$ مقدار معادل وتر در پره‌های ذوزنقه‌ی است.

۱.۲. مدل ریاضی موتور الکتریکی

برای تکمیل مدل ریاضی کوادراتور گام متغیر، با توجه به شکل ۳ و با استفاده از قانون کیرشهف [۱۷] می‌توان نوشت:

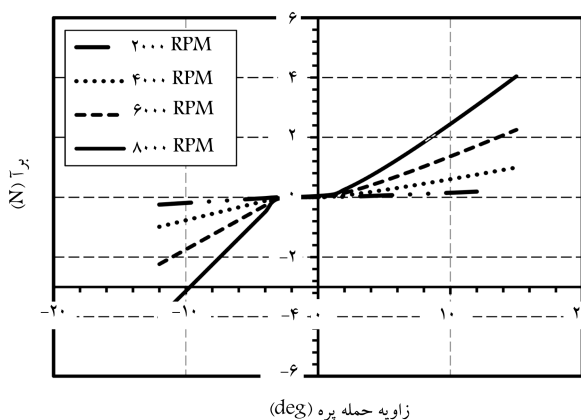
$$v = Ri + \frac{\Omega}{K_V} \quad (9)$$

چنان‌که در شکل ۴ مشاهده می‌شود، تراست مورد نیاز روتور اصلی برای پرواز ایستای پرندگان شاهد با وزن ۶۰۰ گرم در ترکیبات مختلفی از سرعت دورانی روتور اصلی و زاویه‌ی گام (زاویه‌ی حمله) قابل دست‌یابی است. سرعت تغییر تراست به‌ازای تغییرات زاویه‌ی گام پره بسیار بالاتر از سرعت تغییر نسبت به تغییرات سرعت دوران روتور اصلی است که بدون تردید این نقطه‌ی قوت کوادرورتور گام متغیر نسبت به گام ثابت است. معادله‌ی ۱۵ صورت فضایی حالت تغییرات سرعت دورانی روتور اصلی به متغیرهای زاویه‌ی گام (زاویه‌ی حمله) و سرعت دورانی روتور اصلی است؛ لذا با به دست آوردن توابع تبدیل ۱۵ در فضای لپلاس برای یک مجموعه پیش‌ران با دو سازوکار مختلف، واضح است که:

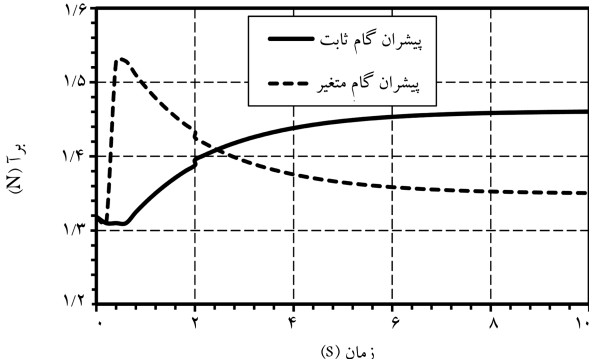
$$\frac{\Delta T(s)}{\Delta v(s)} = \frac{0,2172}{s + 0,536} \quad (16)$$

$$\frac{\Delta T(s)}{\Delta \theta(s)} = \frac{6,742s + 3,161}{s + 0,536} \quad (17)$$

برای ارزیابی سازوکارهای گام ثابت و گام متغیر، سرعت دورانی در پرندگان مقدار ۸۰۰۰ دور بر دقیقه معادل حدود ۸۵۰ را دریان بر ثانیه در نظر گرفته شده است. همچنین زاویه‌ی گام روتور اصلی نیز مقدار 7° است. با این شرایط اولیه پاسخ سامانه‌ی پیش‌ران به فرمان تراست پله واحد، در اشکال ۵ و ۶ نشان داده است. همان‌گونه که در شکل ۵ مشاهده می‌شود، سامانه‌ی گام متغیر از سرعت بالاتری برخوردار است. می‌توان نشان داد هنگامی که مقدار زاویه‌ی گام پره افزایش می‌یابد، اندازه سرعت دورانی روتور اصلی کاسته شده و به انرژی پتانسیل حاصل از افزایش



شکل ۴. تغییرات تراست بر حسب زاویه‌ی گام و سرعت دوران روتور اصلی در کوادرورتور گام متغیر.



شکل ۵. پاسخ سامانه‌ی پیش‌ران به فرمان پله واحد افزایش تراست.

که در آن Ω به عنوان متغیر حالت و (v, θ) به عنوان ورودی سیستم تعریف شده است. یادآور می‌شود شعاع پره جهت تفکیک از مقاومت الکتریکی موتور با R_p نمایش داده شده است. معادله‌ی ۱۵ رابطه‌ی تغییر سرعت دوران روتور اصلی را به تغییرات ولتاژ و زاویه‌ی گام پره ارائه داده و امکان مقایسه‌ی رفتار دینامیکی کوادرورتورهای گام متغیر و گام ثابت با یکدیگر را ایجاد کرده است.

۳. ضرایب آیرودینامیکی پره در رینولدز پایین

در یک کوادرورتور به دلیل ابعاد کوچک، مقدار عدد رینولدز پایین است و درنتیجه جریان آرام منجر به الزامات آیرودینامیک خاصی می‌شود. به عبارت دیگر، این پدیده باعث پیچیدگی محاسبه‌ی ضرایب آیرودینامیکی در کوادرورتورها [۱۸] خواهد شد.

در این تحقیق برای پیاده‌سازی روابط، کوادرورتور را با مشخصات فنی جدول ۱ در نظر می‌گیریم. بیشینه عدد رینولدز روی پره روتور اصلی در فاز پرواز است حدود ۱۰۵ است. با توجه به عدد پایین رینولدز، با استفاده از نرم‌افزار XFOIL ضرایب آیرودینامیکی المان پره (ایرفویل ۰۰۰۹) NACA محسوبه و در جدول ۲ ارائه شده است. در جدول ۳ نیز مشخصات موتور الکتریکی مورد استفاده تشریح شده است.

۴. شبیه‌سازی سازوکارهای گام متغیر و گام ثابت

تغییرات نیروی تراست بر حسب گام پره و سرعت دورانی روتور اصلی در کوادرورتور گام متغیر در شکل ۴ ارائه شده است. عملکرد کوادرورتور گام متغیر با برگذاری ضرایب جدول ۲ در معادلات ۷ و ۸ به دست آمده است.

جدول ۱. مشخصات کوادرورتور گام متغیر. [۱۲]

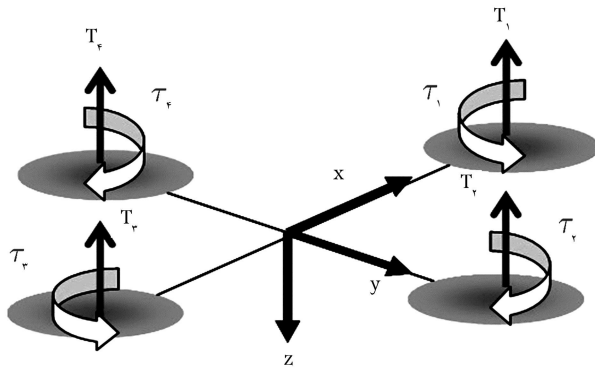
متغیر	آحاد	مقدار
بیشینه وزن برخاست (W)	kg	۰,۶
موتور الکتریکی	AXI-۲۰۸	
ممان اینرسی I _z	kg.m ^۲	۰,۰۱۳
ممان اینرسی I _x	kg.m ^۲	۰,۰۰۷۵
ممان اینرسی I _y	kg.m ^۲	۰,۰۰۷۵
طول بازوی پیش‌ران (L)	cm	۱۷
ایرفویل پره	NACA ۰۰۰۹	
وتر پره	cm	۲/۵
شعاع پره	cm	۱۱
ممان اینرسی قطعات گردنه سامانه پیش‌ران (I)	kg.m ^۲	۰,۰۰۰۷

جدول ۲. ضرایب آیرودینامیکی ایرفویل ناکا ۹ ۰۰۰۹ در ماخ ۱/۰ و رینولدز ۱۰۵.

CL _α	CL ₀	C _D	C _{D,i} = C _{D,r}
۲,۸۷	۰	۰,۱۲۳	۰,۰۲۱

جدول ۳. مشخصات موتور ۸ AXI-۲۰۸. [۱۲]

K _V	K _q	R	i _o
۱۱۰	۱۰۰	۰,۲۶	۰,۳۵



شکل ۷. کوادروتور با چهار محور پیشران که موقعیت و مکان در آن به وسیله برآینده تراست و گشتاور تأمین می‌شود.

T_i مقادیر بردار نیروی تراست در هر کدام از روتورهای اصلی پرنده است و ضریب تناسب گشتاورهای اعمالی پرنده به تفاصلات بردار تراست روتورهای اصلی در راستاهای مختلف است. معادله مکان پرنده در مختصات اینرسی نیز با استفاده از زوایای اوپلر و سرعت خطی پرنده در مختصات بدنی عبارت است از:

$$\begin{bmatrix} \dot{x} \\ \dot{y} \\ \dot{z} \end{bmatrix} = R_{\varphi\theta\psi}^{-1} \begin{bmatrix} u \\ v \\ w \end{bmatrix} \quad (22)$$

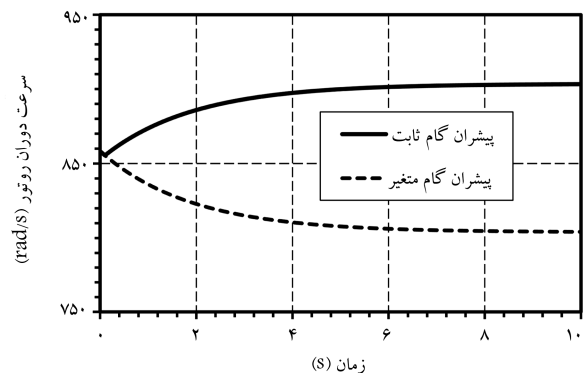
ماتریس انتقال $R_{\varphi\theta\psi}^{-1}$ سرعت را از مختصات بدنی به اینرسی می‌برد و x, y, z نیز مکان پرنده در مختصات اینرسی است. بر اساس معادلات ۱۸ تا ۲۲ معادله ای فضایی، حالت پرنده عبارت است از:

$$x^T = (z, \varphi, \theta, \psi, \dot{z}, \dot{\varphi}, \dot{\theta}, \dot{\psi})$$

$$\dot{x} = \begin{bmatrix} x_5 \\ x_6 \\ x_7 \\ x_8 \\ (\cos \theta \cos \varphi u_r - mg)/m \\ \frac{bu_x}{I_x} + \frac{(I_z - I_y)x_5x_6}{I_x} + \frac{I_{z_{rot}} \cdot \omega_{z_{rot}} \cdot x_5}{I_x} \\ \frac{bu_y}{I_y} + \frac{(I_x - I_z)x_5x_6}{I_y} - \frac{I_{z_{rot}} \cdot \omega_{z_{rot}} \cdot x_6}{I_y} \\ \frac{u_r}{I_z} + \frac{(I_y - I_x)x_5x_6}{I_z} + \frac{I_{z_{rot}} \cdot \dot{\omega}_{z_{rot}}}{I_z} \end{bmatrix} \quad (23)$$

در این تحقیق با توجه به این که پیاده‌سازی و ارزیابی سیستم کنترل در مانور است صورت پذیرفته، با در نظر گرفتن پرواز ایستا و صرف نظر از ترم‌های تداخلی، معادلات حرکت پرنده نتیجه می‌شود:

$$A = \begin{bmatrix} 0 & 0 & 0 & 0 & 1 & 0 & 0 & 0 \\ 0 & 0 & 0 & 0 & 0 & 1 & 0 & 0 \\ 0 & 0 & 0 & 0 & 0 & 0 & 0 & 1 \\ 0 & 0 & 0 & 0 & 0 & 0 & 0 & 0 \\ 0 & 0 & 0 & 0 & 0 & 0 & 0 & 0 \\ 0 & 0 & 0 & 0 & 0 & 0 & 0 & 0 \\ 0 & 0 & 0 & 0 & 0 & 0 & 0 & 0 \\ 0 & 0 & 0 & 0 & 0 & 0 & 0 & 0 \end{bmatrix}$$



شکل ۶. سرعت دورانی روتور اصلی به فرمان افزایش تراست.

ارتفاع پرنده تبدیل می‌شود. بر این اساس می‌توان نتیجه گرفت بخشی از انرژی جنبشی ذخیره شده در پره باعث افزایش مقدار برآ می‌شود (شکل ۶).

۵. مدل دینامیکی کوادروتور گام متغیر

در این بخش معادلات دینامیکی شش درجه آزادی کوادروتور گام متغیر شامل بدنه، روتور اصلی، موتور الکتریکی استخراج می‌شود.^[۱۴] طبق تعریف معادلات حرکت دورانی عبارت اند از:

$$\begin{bmatrix} \dot{p} \\ \dot{q} \\ \dot{r} \end{bmatrix} = \begin{bmatrix} \frac{bu_x}{I_x} + \frac{(I_z - I_y)qr}{I_x} + \frac{I_{z_{rot}} \cdot \omega_{z_{rot}} \cdot q}{I_x} \\ \frac{bu_y}{I_y} + \frac{(I_x - I_z)pr}{I_y} - \frac{I_{z_{rot}} \cdot \omega_{z_{rot}} \cdot p}{I_y} \\ \frac{u_r}{I_z} + \frac{(I_y - I_x)pq}{I_z} + \frac{I_{z_{rot}} \cdot \dot{\omega}_{z_{rot}}}{I_z} \end{bmatrix} \quad (24)$$

همچنین معادلات حرکت خطی مرکز نقل برابر است با:

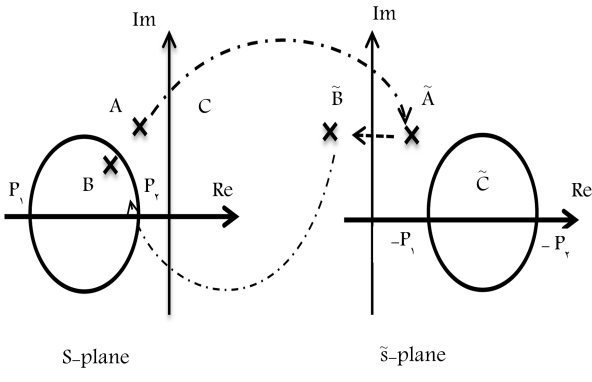
$$\begin{aligned} \dot{u} &= (vr - qw - g \sin \theta) \\ \dot{v} &= (wp - ru - g \sin \varphi \cos \theta) \\ \dot{w} &= (qu - pv - \frac{1}{m}u_r + g \cos \varphi \cos \theta) \end{aligned} \quad (25)$$

(p, q, r) سرعت‌های دورانی، (u, v, w) سرعت‌های خطی در مختصات بدنی و $\omega_{z_{rot}}$ برآیند سرعت دورانی روتورهای پرنده است. در ضمن (φ, θ, ψ) (زوایای اوپلر کوادروتور در مختصات مرجع است که از رابطه 20° در هر لحظه به روزرسانی می‌شود؛

$$\begin{bmatrix} \dot{\varphi} \\ \dot{\theta} \\ \dot{\psi} \end{bmatrix} = \begin{bmatrix} 1 & \sin \varphi \tan \theta & \cos \varphi \tan \theta \\ 0 & \cos \varphi & -\sin \varphi \\ 0 & \sin \varphi / \cos \theta & \cos \varphi / \cos \theta \end{bmatrix} \begin{bmatrix} p \\ q \\ r \end{bmatrix} \quad (26)$$

(u_1, u_2, u_3, u_4) فرمان‌های کنترلی پرنده هستند که از تغییرات مقدار تراست و گشتاور چهار مجموعه پیشران به دست می‌آیند (شکل ۷):

$$\begin{aligned} u_1 &= C_1(T_1 - T_2) \\ u_2 &= C_1(T_1 - T_3) \\ u_3 &= T_2 + T_4 - T_1 - T_3 \approx C_1 * (-T_1 + T_2 - T_3 + T_4) \\ u_4 &= \sum_{(i=1)}^4 T_i \end{aligned} \quad (27)$$



شکل ۸. انتقال دوخطی.

 جدول ۴. روند بهینه‌سازی H_{∞} .

γ	H_{∞}	x_{∞}	H_y	y_{∞}	ρ_{xy}	p/f
۴,۸	۷,۲	۰,۰۴۳	۳۰	۴,۸	۰,۵۲۵۳	p
۲,۷۶۸	۷,۱	۰,۰۴۳	۳۰	۵/۳	۱۱,۸۰۲	f
۳,۷۹۶	۷,۲	۰,۰۴۳	۳۰	۵	۰,۸۷۹	p
۳,۲۸۲	۷,۲	۰,۰۴۳	۳۰	۵/۱	۱,۲۱۴۷	p
۳,۵۳۹	۷,۲	۰,۰۴۳	۳۰	۵	۱۱,۰۲۵	f
۳,۶۶۸	۷,۲	۰,۰۴۳	۳۰	۵	۰,۹۴۸۱	p
۳,۶۰۳	۷,۲	۰,۰۴۳	۳۰	۵	۰,۹۸۵۸	p

پارامترهای انتقال دوخطی جایگزینی برای تعیین تابع وزن خروجی است. برای طراحی کنترل‌کننده، پارامترهای این انتقال به صورت ($P_1 = ۰,۵, P_2 = ۳۰$) اختیار شده است.

۷. کنترل‌کننده با روش بهینه‌سازی H_{∞}

پس از انتقال دوخطی تابع تبدیل ارتفاع، تابع وزنی ۱ در نظر گرفته شده و بهینه‌سازی می‌شود. روند بهینه‌سازی نیز بدین صورت است که مقدار اولیه‌ی برای γ در نظر گرفته می‌شود؛ سپس با فرض آن مقادیر ویژه (x_{∞}, y_{∞}) به دست آمده و شرط $\gamma < (x_{\infty}, y_{\infty}) \rho$ بررسی می‌شود. اگر شرط مزبور صدق کرد، مقدار γ کاهش می‌یابد تا مقدار بهینه‌سازی H_{∞} محاسبه شود. روند این بهینه‌سازی در جدول ۴ ارائه شده است.

پارامتر P نشانه‌ی برقراری شرط و کاهش مقدار γ برای مرحله‌ی بعد است. پس از بهینه‌سازی، تابع کنترل‌کننده به صورت زیر به دست می‌آید:

$$K_{H_{\infty}\text{-bilin-}h} = \frac{۳,۰۶۲s^3 + ۲,۷۳۵s + ۰,۶۰۲}{s^2 + ۴,۶۳۳s + ۱,۹۳۷}$$

همچنین با استفاده از انتقال دوخطی و بهینه‌سازی H_{∞} تابع تبدیل کنترل‌کننده‌ای زوایای (φ, θ) نیز به دست آمده و روی سیستم پیاده‌سازی می‌شود.

$$K_{H_{\infty}\text{-bilin-}\varphi} = \frac{۱,۰۴۷s^3 + ۱,۰۳s + ۰,۲۵۴۶}{s^2 + ۱۰,۳۳s + ۵,۰۴۲}$$

$$K_{H_{\infty}\text{-bilin-}\theta} = \frac{۱,۰۴۷s^3 + ۱,۰۳s + ۰,۲۵۴۶}{s^2 + ۱۰,۳۳s + ۵,۰۴۲}$$

با استفاده از Simulink نرم‌افزار MATLAB، شبیه‌سازی کوادروتور گام متغیر در

$$B = \begin{bmatrix} 0 & 0 & 0 & 0 \\ 0 & 0 & 0 & 0 \\ 0 & 0 & 0 & 0 \\ 0 & 0 & 0 & 0 \\ 0 & 0 & 0 & \frac{1}{m} \\ \frac{b}{i_x} & 0 & 0 & 0 \\ 0 & \frac{b}{i_y} & 0 & 0 \\ 0 & 0 & \frac{1}{i_z} & 0 \end{bmatrix}$$

$$C = \begin{bmatrix} 1 & 0 & 0 & 0 & 0 & 0 & 0 & 0 \\ 0 & 1 & 0 & 0 & 0 & 0 & 0 & 0 \\ 0 & 0 & 1 & 0 & 0 & 0 & 0 & 0 \\ 0 & 0 & 0 & 1 & 0 & 0 & 0 & 0 \end{bmatrix}$$

$$D = 0 \quad (24)$$

درنتیجه تابع تبدیل زاویه‌ی پیچ پرنده (θ) در فاز پرواز ایستا نسبت به تغییر گام پره روتور اصلی ($\delta\alpha$) برابر است با:

$$\frac{\theta(s)}{\delta\alpha(s)} = \frac{\theta(s)}{\delta l(s)} * \frac{\delta l(s)}{\delta\alpha(s)} = \frac{2b}{s^2 I_y} * \frac{6,742s + 3,161}{s + 0,536} \quad (25)$$

/θ تابع تبدیل زاویه‌ی پیچ پرنده به نیروی برآ در موتورهای شماره ۱ و δ/l تابع تبدیل برآی تولیدی در سیستم پیشران به نسبت تغییر زاویه‌ی حمله پره (گام متغیر پره) است. ترکیب این دو تابع تبدیل، تابع تبدیل زاویه‌ی پیچ پرنده‌ی گام متغیر را ارائه می‌دهد. b نیز طول بازوی نیروی برآی پیشران از مرکز نقل پرنده و I_y ممان اینرسی پرنده حول محور y است. دیگر درجات آزادی پرنده نیز به همین ترتیب به دست می‌آید:

$$\frac{\varphi(s)}{\delta\alpha(s)} = \frac{2b}{s^2 I_x} * \frac{6,742s + 3,161}{s + 0,536}$$

$$\frac{\psi(s)}{\delta\alpha(s)} = \frac{0,۰۴۵}{s^2 I_z} * \frac{6,742s + 3,161}{s + 0,536}$$

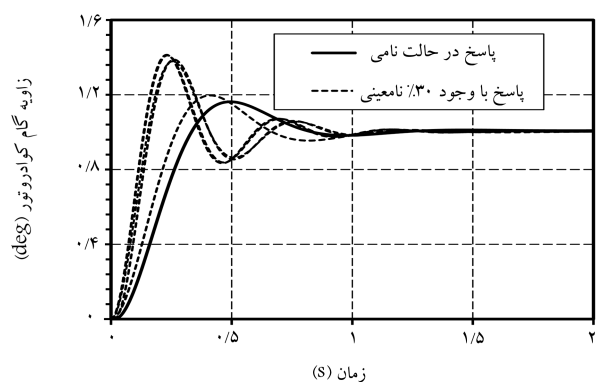
$$\frac{z(s)}{\delta\alpha(s)} = \frac{۴}{s^2 m} * \frac{6,742s + 3,161}{s + 0,536} \quad (26)$$

۶. طراحی کنترل‌کننده

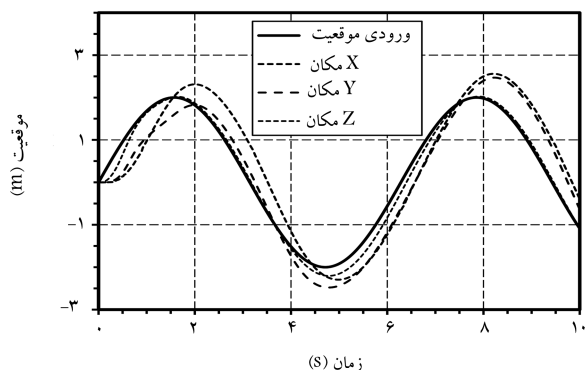
کوادروتور گام متغیر به دلیل وجود خطأ در مدل‌سازی آیودینامیکی همچنین وجود ترم‌های اختلالی نظیر اثرات ژیروسکوپی روتورهای اصلی دارای عدم قطعیت است. بهویژه اگر پرنده دارای ابعاد بزرگ باشد که در این صورت با روش‌های مرسوم طراحی کنترل‌کننده امکان‌پذیر نیست.^[۲۰] بنابراین برای تضمین پایداری لازم است کنترل‌کننده طراحی شود که در حضور عدم قطعیت‌ها رفتار مناسبی را به نمایش بگذارد. کنترل‌کننده‌ی مقاوم با انجام این مهم، خصلت‌های اصلی شامل پایداری، ردیابی و حذف اغتشاش را به صورت کمی و کیفی تضمین می‌کند. در این بخش با استفاده از روش بهینه‌سازی H_{∞} ^[۲۱] پایداری پرنده در حضور نامعینی‌ها تضمین می‌شود. آنچه طراحی کنترل‌کننده با استفاده از روش بهینه‌سازی H_{∞} را با ابهام مواجه می‌کند وجود قطب در مبدأ معادلات ۲۵ و ۲۶ است. برای حل این مشکل با انتقال دوخطی^[۲۲] در فضای لابلس قطب مبدأ حذف می‌شود. پس از طراحی کنترل‌کننده، از معکوس کردن تبدیل دوخطی، تابع تبدیل کنترل‌کننده‌ی اصلی به دست می‌آید (شکل ۸).

جدول ۵. مشخصه‌های پرنده که برای محاسبه عدم قطعیت با خطای 30° درصد متغیر بوده‌اند.

متغیر	آhad	مقدار نامی	تولورانس (%)
چگالی هوا	kg/m^3	$1/22$	$\pm 3^\circ$
ضریب برای پره		$2/87$	$\pm 2^\circ$
شعاع پره	m	$0/1143$	$\pm 3^\circ$
وتر پره	m	$0/022$	$\pm 3^\circ$
C_D		$0/12$	$\pm 3^\circ$
b_L		$2/03E - 0/5$	$\pm 3^\circ$
C_{D_2}		$0/021$	$\pm 3^\circ$
K_V	rad/s.vol	116	$\pm 3^\circ$
R	Ohm	$0/35$	$\pm 3^\circ$
i	Amp	$0/35$	$\pm 3^\circ$
K_q	Amp/Nm	100	$\pm 3^\circ$
سرعت دوران روتور	RPM	6000	$\pm 3^\circ$
مان اینرسی فلینگ پره (I_b)	kg.m^2	$0/000697$	$\pm 3^\circ$
طول بالرو	m	$0/35$	$\pm 3^\circ$
مان اینرسی (I_z)	kg.m^2	$0/0075$	$\pm 3^\circ$
مان اینرسی (I_x)	kg.m^2	$0/013$	$\pm 3^\circ$
مان اینرسی (I_y)	kg.m^2	$0/13$	$\pm 3^\circ$
جرم پرنده	kg	$0/6$	$\pm 3^\circ$



شکل ۱۱. پاسخ پرنده‌ی کوادراتور در حضور عدم قطعیت‌های مختلف با کنترل‌کننده‌ی طراحی شده.



شکل ۱۲. شبیه‌سازی کوادراتور گام متغیر به ورودی نوسانی موقعیت.

پاسخ سیستم به ورودی سینوسی برای مقدار ارتفاع در شکل ۹ و همچنین ورودی پله ثابت زوایای 45° , به مقدار ۵ درجه در شکل ۱۰ ارائه شده است.

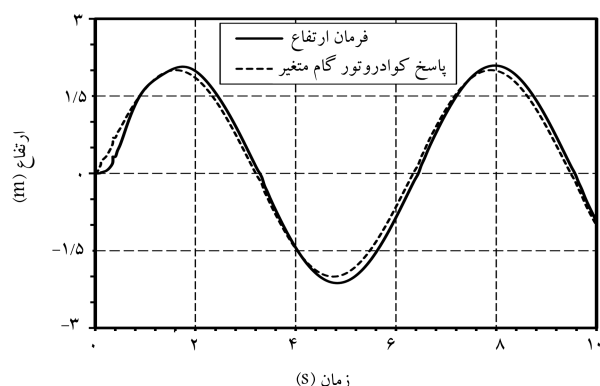
برای نمایش تضمین پایداری کنترل‌کننده‌ی طراحی شده، عدم قطعیت ۳۰ درصدی در مشخصات فیزیکی و آبرودینامیکی پرنده پیاده‌سازی می‌شود. همچنین مدل پارامتری عملگر گام متغیر در نرم‌افزار تولید و تمام متغیرهای آن مطابق جدول ۵ در محدوده‌ی مورد نظر به صورت تصادفی تغییر داده می‌شود.

در شکل ۱۱ رفتار زاویه‌ی پیچ کوادراتور در فرمان ورودی پله واحد در حضور عدم قطعیت‌های است. برای کنترل موقعیت پرنده نیز در یک حلقه‌ی خارجی، از زاویه‌ی 45° استفاده می‌شود. پاسخ سیستم به دستور حرکت سینوسی در سه راستای طولی، عرضی و ارتفاع در شکل ۱۲ و مقدار تراست هرکدام از مجموعه‌های پیش‌ران طی مانور در شکل ۱۳ نمایش داده شده است.

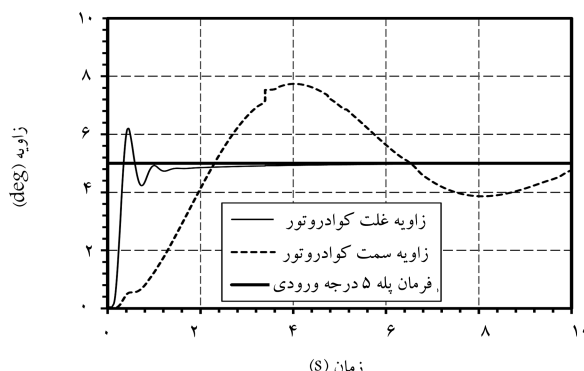
۱.۷. پرواز معکوس با کنترل‌کننده‌ی سنتز μ [۲۴]

یکی از مزیت‌های پرنده‌ی گام متغیر در برآورده کردن پرواز معکوس است. کنترل‌کننده‌ی طراحی شده با روش بهینه‌سازی μ به دلیل محافظه‌کاری بالا و تضمین پایداری از مانور پذیری پایینی برخوردار است و برای مانور پرواز معکوس چار مشکل می‌شود. در مقابل، روش سنتز μ با لحاظ ساختاری بودن عدم قطعیت‌ها و بهینه‌سازی مقدار تکین ساختاری کنترل‌کننده را طراحی می‌کند. این روش تنها در حضور عدم قطعیت‌ها محافظه‌کاری را بهبود بخشیده و هم‌زمان چالاکی سیستم را نیز حفظ می‌کند.

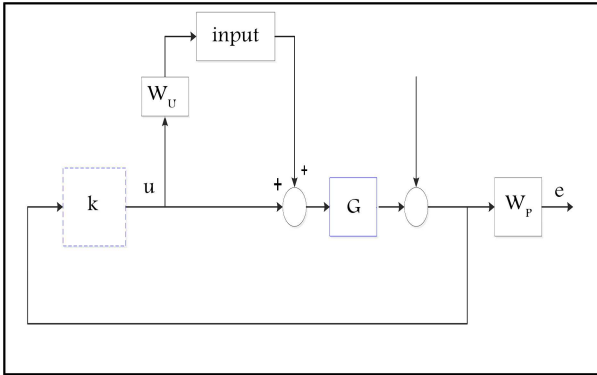
در این بخش با استفاده از سنتز μ یک کنترل‌کننده‌ی مقاوم و البته چالاک طراحی می‌شود. برای مدل‌سازی عدم قطعیت‌ها، ابتدا تابع تبدیل حالت نامی را



شکل ۹. رفتار کوادراتور گام متغیر به ورودی سینوسی ارتفاع.



شکل ۱۰. رفتار کوادراتور گام متغیر به ورودی پله ثابت.



شکل ۱۵. ساختار سیستم کنترل و توابع وزنی در سنتز μ .

جدول ۶. مقادیر سنتز μ با روش D-K Iteration.

Iteration Summary				
۴	۳	۲	۱	Iteration
۱۴	۱۴	۱۰	۴	Controller Order
۱۰	۱۰	۶	۰	Total D-Scale Order
۱/۲۰۷	۱/۱۷	۱/۱۵	۲/۶۳	Gamma Achieved
۱/۲۰۷	۱/۱۷	۱/۱۵	۲/۶۳	Peak mu-Value

از مرتبه بالایی برخوردار است که پیاده‌سازی آن را دچار مشکل می‌کند.

$$K = \frac{1,385 \times 10^3 s^8 + 1,127 \times 10^7 s^8 + 3,896 \times 10^7 s^7}{s^8 + 1374 s^8 + 2,461 \times 10^5 s^8 + 1,512 \times 10^7 s^7} \\ + 2,313 \times 10^8 s^6 + 1,017 \times 10^9 s^5 \\ + 1,359 \times 10^9 s^4 + 8,116 \times 10^8 s^3 \\ + 1,804 \times 10^8 s^2 + 4,353 \times 10^7 s + 27860$$

$$+ 4,418 \times 10^8 s^6 + 3,262 \times 10^9 s^5$$

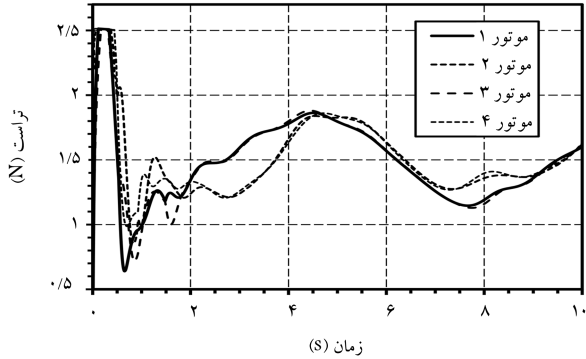
$$+ 6,036 \times 10^9 s^4 + 1,56 \times 10^9 s^3$$

$$+ 9,634 \times 10^8 s^2 + 1,292 \times 10^7 s + 11960$$

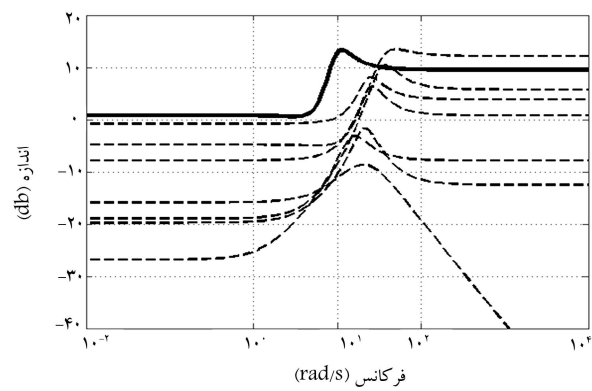
۲. کاهش مرتبه [۲۵]

کنترل‌هایی که بروش مقاوم طراحی می‌شوند از مرتبه بالایی برخوردارند. این مسئله باعث پیچیده شدن فرایند پیاده‌سازی و مشکلات نگه‌داری خواهد شد. روش‌های کاهش مرتبه تابع جدیدی را ارائه می‌دهد که ضمن برخورداری از عملکرد بهینه، از پیچیدگی پایین تری نیز برخوردار است. در روش‌های کاهش مرتبه، سیستم تقلیل مرتبه یافته $G_r(s)$ را با کمینه نرم خطأ به دست می‌آورند. به عبارت دیگر کاهش مرتبه عبارت است از کمینه کردن مقدار $\|G(s) - G_r(s)\|$. بهینه سازی نرم هنگل یکی از این روش‌هاست که با تعریف مشخصه‌ی بهنام «نرم هنگل» اختلاف نرم تابع کاهش مرتبه یافته با تابع اصلی را کمینه می‌کند. با استفاده از این روش، کنترل‌کننده‌ی مرتبه ۱۰ طراحی شده با استفاده از سنتز μ به یک تابع درجه ۴ کاهش مرتبه داده می‌شود:

$$K = \frac{2,543 \times 10^3 s^3 + 3,363 \times 10^5 s^3 + 5,675 \times 10^5 s + 4357}{s^4 + 978,2s^3 + 2,761 \times 10^5 s^2 + 3,512 \times 10^6 s + 365}$$



شکل ۱۳. مقدار تراست هریک از روتورها برای تعقیب فرمان موقعیت نوسانی، بیشینه مقدار تراست تولیدی در محدوده‌ی مجاز بوده و طی پرواز از ۲/۵ نیوتن فراتر نمی‌رود.



شکل ۱۴. نمودار فاز و اندازه‌ی عدم قطعیت‌ها و منحنی پوش بر آن.

نوشته و سپس عدم قطعیت‌ها مطابق معادله‌ی ۲۷ با آن ترکیب می‌شود:

$$\Delta_{mi}(z) = \frac{P_i(z) - P_{nom}(z)}{P_{nom}(z)} \quad (27)$$

P_i تابع تبدیل واقعی با اعمال عدم قطعیت‌ها و P_{nom} مقدار نامی تابع تبدیل است. در شکل ۱۴ نمودار فاز و اندازه‌ی عدم قطعیت و تابع پوش عدم قطعیت‌ها ارائه شده است.

خط توبن $(z)_M$ یا همان تابع پوش بر عدم قطعیت‌هاست، لذا مدل عدم قطعیت عبارت خواهد بود از:

$$\Delta = \frac{3s^3 + 18s + 110}{s^3 + 6s + 100} \quad (28)$$

ساختار سیستم کنترل در سنتز μ طبق شکل ۱۵ است. چنان که مشاهده می‌شود، برای طراحی کنترل‌کننده‌ی مناسب باید سیستم وزن‌دهی شود. تابع وزن خروجی چنین در نظر گرفته شده است:

$$w_p = \frac{0,9s + 10}{(s + 0,001)} \quad (29)$$

پس از وزن‌دهی خروجی و مدل‌سازی عدم قطعیت‌ها با استفاده از Iteration D-K کنترل‌کننده‌ی سنتز μ محاسبه می‌شود (جدول ۶).

پس از چهار بار بهینه‌سازی، کنترل‌کننده‌ی مطلوب به دست آمد اما، این کنترل‌کننده

نتایج کمی به دست آمده نشان داد که با وجود ۳۰ درصد عدم قطعیت در ضرایب آبرودینامیک، پایداری پرنده در پرواز است محرز است و نیز به پرواز معکوس پایدار به عنوان یک قابلیت جدید در کوادرورتور گام متغیر با اعمال صحیح کنترل مقاوم سنتز μ قابل دست‌یابی است.

علائم و اختصارات

- P : فشار (kgm^{-2})
- c : وتر پره
- V : سرعت خطی المان
- Re : عدد رینولدز
- $C_{L\alpha}$: شیب منحنی برآ
- CD : ضریب نیروی بسای
- dQ : گشتاور آبرودینامیکی المان
- dT : تراست آبرودینامیکی المان
- R_P : شعاع پره
- K_V : ثابت موتور (rad/s/vol)
- K_q : ثابت گشتاور موتور (AMP/N.m)
- R : مقاومت داخلی موتور
- p, q, r : سرعت‌های دورانی پرنده در مختصات بدنی
- u, v, w : سرعت‌های خطی پرنده در مختصات بدنی
- u_1, u_2, u_3, u_4 : فرمان‌های کنترلی پرنده
- Q_L : گشتاور موردنیاز برای چرخش موتور
- Q_M : گشتاور تولیدی موتور
- I : ممان ینرسی
- θ, φ, ψ : زوایای اوپلر کوادرورتور در مختصات مرجع
- ρ : چگالی (kgm^{-3})
- ω_{rot} : برآیند سرعت دورانی روتورهای پرنده
- Ω : سرعت دورانی روتور اصلی

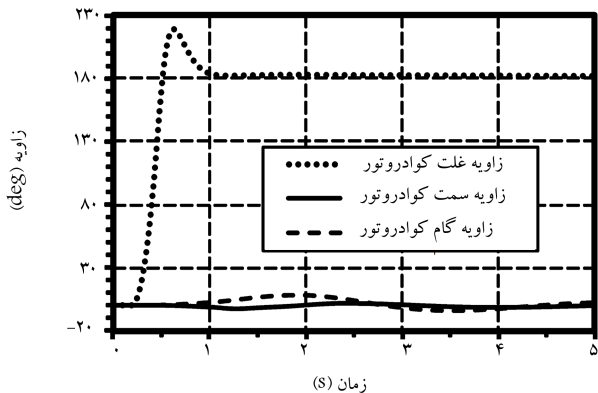
زیرنویس‌ها

- M : گشتاور
- L : برآ.

پانوشت‌ها

۱. Flapping: حرکت بالا و پایین پره‌های روتور حول لولا

2. biline transform



شکل ۱۶. پاسخ شبیه‌سازی برای پرواز معکوس کوادرورتور.

۳.۷. شبیه‌سازی کنترل کننده‌ی طراحی شده با سنتز μ

برای نشان دادن توانمندی روش کنترلی سنتز μ به عنوان یک روش پایدار و همچنین چالاک، با استفاده از کنترل کننده کاهش مرتبه یافته مانور پرواز معکوس پیاده‌سازی می‌شود. الگوهای معادله‌ی ۲۰ در صورت دوران پرنده حول محور y معادلات دچار تکینگی می‌شود. لذا با توجه به مدل سازی صورتگرفته، محور رول برای دوران انتخاب و در مود رول مانور پرواز معکوس پیاده‌سازی می‌شود. در طی این مانور زاویه‌ی گام پره پس از دوران کوادرورتور به مقدار رول بالای ۹۰ درجه و در زمان حدود ۱/۵ ثانیه باید منفی شود. سیستم کنترل طراحی شده با تشخیص این الزام ضمن تعییر زاویه‌ی گام پره از کاهش ارتفاع جلوگیری می‌کند.

با استفاده از نرم‌افزار MATLAB Simulink کنترل کننده کاهش مرتبه یافته در حلقه‌ی داخلی زاویه‌ی φ قرارگرفته و با استفاده از آن مانور پرواز معکوس در شبیه‌ساز ۶ درجه آزادی آزمایش می‌شود (شکل ۱۶). لازم به ذکر است زاویه‌ی ψ و θ با استفاده از کنترل کننده مقاوم H_∞ ثابت نگه داشته شده و نیز برای حفظ ارتفاع از یک کنترل کننده ساده‌ی Lead استفاده می‌شود.

۸. نتیجه‌گیری

در این نوشتار با استفاده از اسازوکار گام متغیر، پایداری و کنترل کوادرورتورها به صورت مقاوم توسعه داده شد. این روش باعث توسعه‌ی پاکت پروازی پرنده و همچنین ایجاد زمینه‌ی بهره‌برداری از موتورهای پیستونی در کوادرورتورها خواهد شد؛ درنتیجه امکان افزایش توانمندی کوادرورتورها فراهم خواهد شد. در ادامه‌ی این تحقیق دو روش کنترل مقاوم شامل بهینه‌سازی H_∞ و سنتز μ برای بهبود پایداری پرنده پیاده‌سازی شد.

منابع (References)

- Li, J. "Dynamic analysis and PID control for a quad rotor", *International Conference on Mechatronics and*

- Automation (ICMA)* (2011).
2. Tayebi, A. and McGilvray, S. "Attitude stabilization of a four-rotor aerial robot", *IEEE Conference on Decision and Control* (2004).
 3. Schafroth, D.M. "Aerodynamics, modeling and control of an autonomous micro helicopter", PhD thesis, Zürich, Schweitzer (2010).
 4. Pilz, U., Popov, P. and Werner, H. "An H_∞/ℓ_1 approach to cooperative control of multi-agent systems", *IEEE, Annual Conference Decision and Control* (2012).
 5. Ton, C.T. "Robust tracking control of a quadrotor in the presence of uncertainty and no vanishing disturbance", *AIAA Guidance, Navigation and Control Conference* (2015).
 6. Yansi, L., Atashgah, M.A., "design of robust tracking control of a4-bladed quadrotor using sliding mode technique", *3rd National Conference and the 1st International Conference of Electronic Engineering*, Mechanic sand Mechatronic, Tehran, Malek Ashtar University of Technology, (In Persian) (2015).
 7. Peng, C. "Modeling and robust back stepping sliding mode control with adaptive RBFNN for a novel coaxial eight-rotor UAV", *IEEE/CAA Journal Of Automatica Sinica*, **2**(1), pp. 56-64 (2015).
 8. Dadgarnejad, H., Dadgarnejad, H., Kazemi, M., H., "Smart back stepping Control of 4-bladed system with mass uncertainty", *International Conference of Electronic Engineering*, Tehran, Barger Olloum Research Organization, (In Persian) (2016).
 9. Bouabdallah, S. "Design and control of quad rotors with application to autonomous flying", PhD thesis of Ecole Polytechnique Fédérale de Lausanne (2007).
 10. Bornstein, J. "The hoverbot, an electrically powered flying robot", University of Michigan, Unpublished (1992).
 11. Michini, B., Redding, J., Ure, N.K., Cutler, M. and How, J.P. "Design and flight testing of an autonomous variable-pitch quad rotor", *IEEE International Conference on Robotics and Automation*, pp. 2978-2979 (2011).
 12. Cutler, M.J. "Design and control of an autonomous variable-pitch quadrotor helicopter", Master of Science in Aeronautics and Astronautics, Massachusetts Institute of Technology (MIT) (2012).
 13. Sheng, S. and Sun, C. "Control and optimization of a variable-pitch quadrotor with minimum power consumption", *Energies*, **9**(4), pp. 1-18 (2016).
 14. Panizza, P., Invernizzi, D., Riccardi, F., Formentin, S. and Lovera, M. "Data-driven attitude control law design for a variable-pitch quadrotor", *American Control Conference (ACC), IEEE*, pp. 4434-4439 (2016).
 15. Gupta, N. and Kothari, M. "Flight dynamics and nonlinear control design for variable-pitch quadrotors", *American Control Conference (ACC), IEEE*, pp. 3150-3155 (July 2016).
 16. Bristeau, P.-J. "The role of propeller aerodynamics in the model of a quad rotor UAV", *The European Control Conference*, Budapest, Hungary (August 2009)
 17. Drela, M. "First-order DC electric motor model", MIT Aero & Astro (February 2007).
 18. Leishman, J., *Principles of Helicopter Aerodynamics*, Cambridge Aerospace Series, J. Rycroft Ed, First Edn, pp. 243-298, Cambridge University Press (2000).
 19. Castillo, P., Lozano, P., Dzul, R. and Enrique, A., *Modeling and Control of Mini-Flying Machines*, Springer, Advances in Industrial Control (AIC) (2005).
 20. Stepaniak, J.M. "A quad rotor sensor platform", PhD thesis, Russ College of Engineering and Technology of Ohio University (2008).
 21. Ware, D.F. and Nanaimo, K. "H-infinity hovering and guidance control for autonomous small-scale unmanned helicopter", *IEEE, International Conference on Intelligent Robots and Systems*, Sendai, Japan (2004).
 22. Chiang, R. and Safonov, M. "H-infinity synthesis using a bilinear pole shifting transform", *Journal of Guidance, Control, and Dynamics*, **15**(5), pp. 1111-1117 (September - October 1992).
 23. Park,W., Park, K.-S. and Koh, H.-M. "Active control of large structures using a bilinear pole-shifting transform with H/infinity control method", *Engineering Structures*, Elsevier, **30**(11), pp. 3336-3344 (2008).
 24. Mayhew, C. "Robust control of an inverted pendulum", Master thesis, Department of Electrical and Computer Engineering University of California (2006).
 25. Safonov, M. and Chaing, R.Y. "Optimal hankle model reduction for no minimal systems", *IEEE Transactions on Automatic Control*, **35**(4), pp. 496-502 (1990).